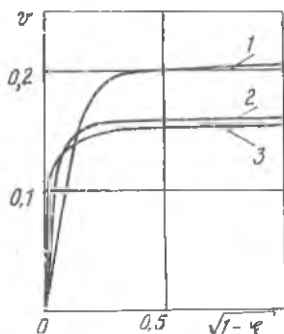


В то же время температурный напор

$$T - T_w = \frac{4\mu_w W^2}{2w} z^2$$

возрастает со средней по расходу скоростью примерно пропорциональ-



Р и с.1. Распределение температуры по сечению труб: 1 - $Re = 10^4$; 2 - 10^5 ; 3 - 10^6 ;

но ее квадрату. При течении воздуха в трубе диаметром 100 мм в случае, когда $Re = 10^6$ и $T_w = 300$ К, перепад температур между стенкой и ядром достигает 10^0 . Так как наиболее резко температура изменяется вблизи поверхности, то при обработке экспериментальных данных указанный перепад необходимо учитывать в первую очередь в этой области течения.

УДК 532.526

А.И. Бер, Н.Н. Кортиков

ПРИСТЕНОЧНАЯ ЛАМИНАРНАЯ СТРУЯ В СПУТНОМ ПОТОКЕ НА ИСКРИВЛЕННОЙ ПОВЕРХНОСТИ

Принятые обозначения

x, y - продольная и поперечная координаты

U, V - проекции вектора скорости соответственно на координатные

линии x и y

$\tau_w = \bar{u} \sqrt{\varepsilon_0 / V x}$ - касательное напряжение трения на стенке

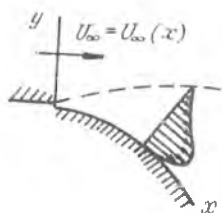
ρ - плотность

ν - коэффициент кинематической вязкости

μ - коэффициент динамической вязкости.

Рассмотрим плоскую ламинарную струю вязкой несжимаемой жидкости, выходящую из бесконечно тонкой щели вдоль твердой поверхности в спутный поток жидкости обладающий теми же физическими свойствами, что и сама струя. Введем криволинейную ортогональную систему координат. Начало координат поместим в точку расположения щели O . Ось x направим по стенке, ось y - по нормали к ней в каждой точке поверхности (рис.1).

Гидродинамику и теплообмен в спутных пристеночных струях, распространяющихся вдоль поверхностей с незначительной кривизной, можно проанализировать с помощью уравнений первого приближения при асимптотическом разложении уравнений Навье-Стокса и энергии при больших числах Рейнольдса. При этом влияние кривизны поверхности ограничивается изменением градиента давления вдоль стенки.



Р и с. 1. Схема течения

Уравнения движения, неразрывности и энергии для струи вязкой несжимаемой жидкости в приближении пограничного слоя имеют вид [1]:

$$U \frac{\partial U}{\partial x} + V \frac{\partial U}{\partial y} = \nu \frac{\partial^2 U}{\partial y^2} + U_\infty \frac{dU_\infty}{dx}; \quad (1)$$

$$\frac{\partial U}{\partial x} + \frac{\partial V}{\partial y} = 0;$$

$$U \frac{\partial T}{\partial x} + V \frac{\partial T}{\partial y} = \frac{\nu}{Pr} \frac{\partial^2 T}{\partial y^2}.$$

Граничные условия запишем следующим образом:

$$U = V = 0; \quad T = T_w \quad \text{при } y = 0; \quad (2)$$

$$U = U_\infty, \quad T = T_\infty \quad \text{при } y \rightarrow \infty$$

(поверхность поддерживается при постоянной температуре, не равной температуре окружающей среды).

Влияние спутного потока проявляется в последнем члене уравнения (1) и в граничном условии на внешней границе пограничного слоя (2).

Используя уравнения движения и неразрывности, зададим интегральную характеристику движения, отвечающую некоторому закону сохранения и тем самым служащую количественной мерой данной полуограниченной струи [2]:

$$\int_0^{\infty} U(U - U_{\infty}) \psi dy + \int_0^x \left[\frac{\Gamma}{2} \nu U_{\infty}^2 + \frac{dU_{\infty}}{dx} \int_0^{\infty} (U - U_{\infty}) \psi dy \right] dx = E_0, \quad (3)$$

где ψ - функция тока.

Таким образом, вдоль ламинарной струи, распространяющейся у стенки в спутном потоке, сохраняется величина E_0 .

Перепишем уравнения гидродинамики и теплообмена с граничными условиями через функцию $\Phi = \frac{\psi}{U_{\infty}}$ и безразмерную температуру $\theta = \frac{T - T_{\infty}}{T_w - T_{\infty}}$:

$$\frac{dU_{\infty}}{dx} \left[\left(\frac{\partial \Phi}{\partial y} \right)^2 - \Phi \frac{\partial^2 \Phi}{\partial y^2} - 1 \right] + U_{\infty} \left(\frac{\partial \Phi}{\partial y} \frac{\partial^2 \Phi}{\partial x \partial y} - \frac{\partial \Phi}{\partial x} \frac{\partial^2 \Phi}{\partial y^2} \right) = \nu \frac{\partial^3 \Phi}{\partial y^3}; \quad (4)$$

$$U_{\infty} \frac{\partial \Phi}{\partial y} \frac{\partial \theta}{\partial x} - \left(\frac{\partial U_{\infty}}{\partial x} \Phi + \frac{\partial \Phi}{\partial x} U_{\infty} \right) \frac{\partial \theta}{\partial y} = \frac{\nu}{\rho r} \frac{\partial^2 \theta}{\partial y^2}; \quad (5)$$

$$\frac{\partial \Phi}{\partial y} - \Phi = 0, \quad \theta = 1 \quad \text{при } y = 0;$$

$$\frac{\partial \Phi}{\partial y} = 1, \quad \theta = 0 \quad \text{при } y \rightarrow \infty.$$

Представим функции Φ , θ и скорость на внешней границе струи

U_{∞} в виде рядов по степеням параметра $m = \kappa x^p$:

$$\Phi = \frac{\sqrt[4]{E_0 \nu x}}{U_{\infty}(0)} \sum_{i=0}^{\infty} m^i F_i(\eta); \quad (6)$$

$$\theta = \sum_{i=0}^{\infty} m^i S_i(\eta); \quad (7)$$

$$U_{\infty} = U_{\infty}(0) \sum_{i=0}^{\infty} a_i \frac{m^i}{i!}; \quad a_i = \frac{U_{\infty}^{(i)}(0)}{U_{\infty}(0)}, \quad (8)$$

где $U_{\infty}(0)$ - скорость спутного потока в начальном сечении;

κ, ρ - константы, требующие определения.

Из граничного условия на внешней границе принимаем

$$F_0'(\infty) = 0, \quad F_1'(\infty) = 1, \quad F_2'(\infty) = 0, \dots, \quad F_i'(\infty) = 0.$$

откуда константы ρ и κ определяются следующим образом

$$\rho = \frac{1}{2}; \quad \kappa = U_\infty(0) \sqrt{\frac{\nu}{E_0}}$$

Теперь выражение для параметра разложения m можно записать в виде

$$m = \kappa x^\rho = \frac{U_\infty(0)}{\sqrt{E_0/\nu x}} = \frac{U_\infty(0)}{U_m}; \quad U_m = \sqrt{E_0/\nu x}$$

Аналогичная характерная скорость в сечении струи вводилась при исследовании автомоделного решения. Очевидно, задача имеет смысл в случае малости безразмерного параметра m , т.е. когда характерная скорость слутного потока меньше характерной скорости в сечении струи.

Подставляя разложения (6) - (8) в уравнения (4), (5), приравнивая члены при одинаковых степенях параметра m , получим после некоторых преобразований уравнения для определения любого (n -го) члена в разложениях (6), (7):

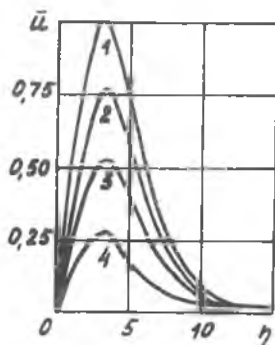
$$\begin{aligned} & \frac{1}{2} \sum_{\ell=1}^n \frac{1}{\ell!} a_\ell \ell \left[\sum_{i=0}^{n-\ell} F_i' F_{n-\ell-i}' - \sum_{i=0}^{n-\ell} F_i F_{n-\ell-i}'' \right] - \frac{1}{4} \left[1 + \operatorname{sgn}(n-2) \right] (n-2) a_{n-2} + \\ & + \sum_{\ell=0}^n \frac{1}{\ell!} a_\ell \left\{ \sum_{i=0}^{n-\ell} \left[\frac{1}{2} (n-\ell-i) - \frac{1}{2} \right] F_i' F_{n-\ell-i}' - \sum_{i=0}^{n-\ell} \left[\frac{1}{4} + \frac{1}{2} (n-\ell-i) \right] F_i'' F_{n-\ell-i} \right\} = F_n''; \\ & \sum_{\ell=0}^n \frac{1}{\ell!} a_\ell \sum_{\ell=0}^{n-i} \frac{1}{2} (n-i-\ell) F_\ell' S_{n-i-\ell} - \sum_{\ell=0}^n \frac{1}{\ell!} a_\ell \sum_{\ell=0}^{n-i} \left(\frac{1}{4} + \frac{1}{2} \ell \right) F_\ell S_{n-i-\ell} - \\ & - \frac{1}{2} \sum_{\ell=1}^n \frac{i}{\ell!} a_\ell \sum_{\ell=0}^{n-i} F_\ell S_{n-i-\ell} = \frac{1}{\rho r} S_n'' \end{aligned}$$

Для получения отличного от тривиального решения уравнения для нулевого члена разложения (6), используя соотношение (3), введем дополнительное интегральное условие

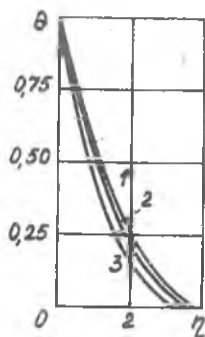
$$\int_0^\infty F_0 F_0'^2 d\eta = 1.$$

Заметим, что все уравнения, кроме первых автомоделных, являются линейными, что позволяет легко рассчитать любое приближение задачи. В ходе работы были проведены расчеты для определения первых четырех членов разложений (6), (7). Система обыкновенных дифференциальных уравнений решалась численно методом сведения краевой задачи к задаче Коши на ЭВМ "БЭСМ - 4" с использованием стандартной программы метода Рунге-Кутты.

Численные расчеты показывают, что профиль скорости становится более градиентным при отрицательном перепаде давления в спутном потоке ($a, > 0$) и размывается при наличии встречного перепада давления ($a, < 0$) (рис.2). При благоприятном градиенте давления в спутном потоке пристеночная струя ускоряется (рис.3) и подтормаживается при противодавлении (рис.4). Характерной особенностью струйного течения с противодавлением является появление противотоков в области смыкания с внешним потоком.



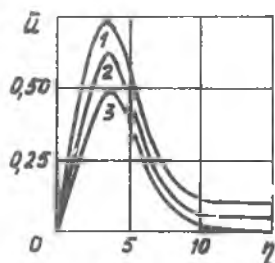
Р и с. 2. Профиль скорости для $m = 0,05$:
1 - $a = 10$; 2 - $a = 5$;
3 - $a = 0$; 4 - $a = -5$



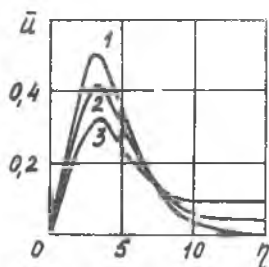
Р и с. 3. Профиль скорости для $a = 2$:
1 - $m = 0,1$; 2 - $m = 0,05$;
3 - $m = 0$

Исследование температурных полей показало, что отрицательный градиент давления приводит к сужению безразмерного профиля температуры по мере удаления от источника струи (рис.5 и 6). Влияние числа Прандтля выражается в уменьшении температурного пограничного слоя при его увеличении (рис.7 и 8). Для предотвращения появления отрицательной избыточной температуры при больших значениях автомоделной переменной η с уменьшением числа Прандтля возникает необходимость учета большего числа членов разложения (см. рис.5).

Было исследовано влияние параметров спутного потока на трение и теплообмен на стенке. В результате интегрирования



Р и с. 4. Профиль скорости для $\alpha = -2$:
 1 - $m = 0$; 2 - $m = 0,05$;
 3 - $m = 0,1$



Р и с. 5. Профиль температуры для $Pr = 0,7$ и $\alpha = 2$:
 1 - $m = 0,1$; 2 - $m = 0,05$;
 3 - $m = 0,1$

уравнений для нулевого и первого приближений в критериальной форме получены следующие зависимости:

$$\frac{\tau_w}{\mu \sqrt[4]{E_0} / \nu^3 x^3} = 0,2210 + m(0,1968 + 0,4420 a_1); \quad (9)$$

$$\frac{Nu_x}{\sqrt[4]{E_0} x / \nu^3} = 0,1775 + m(0,1042 + 0,2284 a_1), \quad (Pr = 0,7); \quad (10)$$

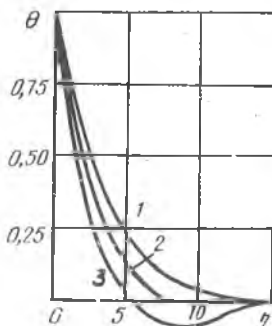
$$\frac{Nu_x}{\sqrt[4]{E_0} x / \nu^3} = 0,5001 + m(0,1936 + 0,4399 a_1), \quad (Pr = 10). \quad (11)$$

Соотношение (9) указывает на увеличение напряжения трения на стенке при наличии ускоряющегося спутного потока и потока с умеренным противодавлением ($a_1 < -0,445$). Приравняв в (9) трение на стенке нулю, можем приблизительно найти положение точки отрыва струи от поверхности:

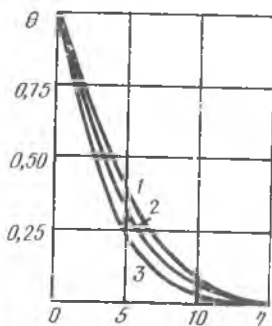
$$m_0 = \frac{0,2210}{0,4420 a_1 + 0,1968}.$$

Сравнивая зависимости (10), (11) приходим к выводу, что влияние перепада давления в спутном потоке на величину коэффициента теплоотдачи уменьшается с ростом числа Прандтля.

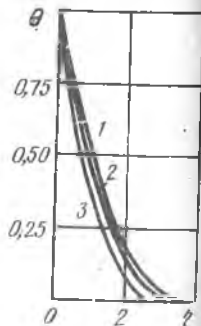
Корректность метода возмущений определяется параметрами разложения α_i и m . Расчеты показывают, что с ростом коэффи-



Р и с. 6. Профиль температуры для $\rho_r = 0,7$ и $a = -2$:
1 - $m = 0,1$; 2 - $m = 0,05$;
3 - $m = 0$



Р и с. 7. Профиль температуры для $\rho_r = 1,0$ и $a = 2$:
1 - $m = 0,2$; 2 - $m = 0,05$;
3 - $m = 0,1$



Р и с. 8. Профиль температуры для $\rho_r = 1,0$ и $a = -2$:
1 - $m = 0,1$; 2 - $m = 0,05$;
3 - $m = 0$

циентов разложения скорости спутного потока α_i уменьшается диапазон возможного изменения параметра m .

Л и т е р а т у р а

1. Л о й ц я н с к и й Л.Г. Механика жидкости и газа. М., "Наука" 1973.
2. А к а т н о в Н.И. Распространение плоской ламинарной струи вдоль твердой стенки. Труды ЛПИ, 1963, № 5, с.24-31.

УДК 532.517.4

В.И. К о р о б к о

ТУРБУЛЕНТНАЯ ОСЕСИММЕТРИЧНАЯ СТРУЯ В СПУТНОМ ОДНОРОДНОМ ПОТОКЕ

Уравнения турбулентного пограничного слоя вязкой несжимаемой жидкости в случае осесимметричного движения в безграничном однородном